

استفاده از شواهد صحراوی و ریز ساختاری در تعیین منشأ انکلاوهای ماقمایی و بیگانه سنگ‌های متاپلیتی مجموعه پلوتونیک ملایر (باخته ایران)

رضا دیوالسار^{*} و محمدولی ولیزاده^۲^۱دانشگاه تربیت مدرس، دانشکده علوم پایه، گروه زمین شناسی، تهران، ایران^۲دانشگاه تهران، پردیس علوم، دانشکده زمین شناسی، تهران، ایران

تاریخ پذیرش: ۱۳۸۷/۱۱/۱۵ تاریخ دریافت: ۱۳۸۷/۰۷/۰۹

چکیده

با توجه به نتایج بررسی‌های صحراوی (شکل، ابعاد، توزیع مکانی و وضعیت انکلاوهای و بیگانه سنگ‌های در سنگ میزبان و در رخمنونهای قابل دسترس) و آزمایشگاهی (بررسی‌های سنگ‌نگاری، ریز ساختاری انکلاوهای ماقمایی و بیگانه سنگ‌های متاپلیتی و شیمی سنگ کل انکلاوهای ماقمایی)، انکلاوهای ماقمایی از نوع مافیک و فلزیک و بیگانه سنگ‌های دگرگونی از نوع هورنفلسی هستند. طویل شدگی انکلاوهای ماقمایی و بیگانه سنگ‌های هورنفلسی در امتداد محور طولی ظاهری خود در بخش‌های حاشیه‌ای توده نفوذی به عملکرد تنش‌های زمین‌ساختی در حالت مذاب یا نیمه جامد روی انکلاوهای حالت خمیری برای بیگانه سنگ‌ها و همچنین نبروی بالای جریان ماقمایی در منطقه تماس با سنگ‌های دگرگونی منطقه، نسبت داده شده و اشاره‌ای است به این که منشأ این بیگانه سنگ‌ها، سنگ‌های دگرگونی مجاور توده نفوذی است. انکلاوهای مافیک موجود در میزبان جهت افزوون بر شواهد تغییر شکل پلاستیک (در مقیاس میکروسکوپی)، ریز ساختارهای جریانی هم نشان می‌دهند که این حالت را می‌توان به تحمل جریان حالت جامد (Solid-State Flow) بر جریان ماقمایی نسبت داد. اشکال کروی، بیضوی، دوکی انکلاوهای ماقمایی مافیک، بد لیل عدم مشاهده شواهد تغییر شکل پلاستیک حالت جامد، وجود معیارهای جریان ماقمایی و مرز مشخص با سنگ میزبان در مقیاس میکروسکوپی و میکروسکوپی به حضور آنها در واقع با وقوع آمیختگی در ماقمایی فلزیک میزبان نسبت داده و با توجه به اختلاف ظاهری، نزدیکی کانی شناسی، بافتی و ژئوشیمیابی با سنگ میزبان، به منشأ متفاوت آنها و در واقع با وقوع آمیختگی ماقمایی مرتبط است. انکلاوهای ماقمایی فلزیک که به طور عمده شکل خاصی نداشته و قرابت کانی شناسی، ژئوشیمیابی آشکاری با میزبان نشان می‌دهند و در بخش‌های حاشیه‌ای و سقف توده دیده می‌شوند به گیستختگی حاشیه‌ای در فازهای اولیه تزریق، در فشار ناشی از ضربان‌های تزریق بعدی و جایگزینی ماقمایی جدید نسبت داده شده‌اند.

کلیدواژه‌ها: ملایر، انکلاوهای ماقمایی، بیگانه سنگ، نسبت ظاهری، تغییر شکل حالت جامد، جریان ماقمایی، آمیختگی ماقمایی

Email: reza-dsalar@yahoo.com

*نویسنده مسئول: رضا دیوالسار

۱- مقدمه

به سه بخش: ۱- گرانودیبوریتی؛ ۲- مونزو- سینوگراناتی؛ ۳- دیبوریتی تاگابرو- دیبوریتی می‌توان تقسیم کرد (شکل ۱).
بیشترین بخش این مجموعه را گرانودیبوریت‌ها تشکیل می‌دهند که ترکیب کانی شناسی به نسبت مشخصی مانند کوارتز، پلازیوکلاز، فلدسپار قلایی، بیوتیت، هورنبلند سبز، آپاتیت، زیرکن، اسفن و آلانیت داشته که نسبت حجمی هریک در نمونه‌های مختلف اند کی متفاوت است. آندالوزیت و گارنت نیز در برخی از نمونه‌های گرانودیبوریتی دیده می‌شوند که شاهدی بر هضم واحد دگرگونی توسط ماقمایی در افق جایگیری هستند. در این بخش بیوتیت یک فاز شاخص بوده و در نمونه‌های جهت‌افته و میلونیتی، آرایش خطی و رقه‌های آن ظاهری ورقه‌ای به سنگ‌ها بخشیده است. در مشاهدات میکروسکوپی، بیوتیت به کلریت، اسفن، روتیل و اکسید آهن و پلازیوکلازها به سریست و مسکوویت (اندک) و زویزیت تجزیه شده‌اند. هم رشدی فلدسپار با کوارتز (میرمکیت)، برتیت، میکروپریت و میکروکلین، رگه‌های کوارتری دوباره تبلور یافته، محصول تغییرشکل حالت جامد در پاسخ به تنش‌های وارد شده در خود جمع کرده‌اند، در یک مجموعه بافت دانه‌ای متوسط تاریخت بلور قابل مشاهده هستند (در مقیاس میکروسکوپی)، میلونیتی شدن و تأثیر تنش‌های پس از سردشدن در بخش‌هایی از گرانودیبوریت‌های شمال شهر سمن، بویزه در حاشیه توده قابل دیدن است. مونزو- سینوگراناتی‌ها نسبت به بخش گرانودیبوریتی، فلدسپار قلایی (ارتوكلاز و میکروکلین) بیشتر، پلازیوکلاز کمتر و نسبت حجمی کانی‌های مافیک همچون هورنبلند سبز و بیوتیت پایین تری داشته و حضور کانی تورمالین در برخی نمونه‌های

مجموعه نفوذی ملایر، قسمتی از بخش شمالی نوار دگرگونی سنتدج - سیرجان (Eftekharnajad, 1981) است که در محدوده عرض جغرافیایی ۳۴°۰۰'-۳۴°۱۸' و طول ۵۲°-۴۸°۰۳' واقع شده و همانند بیشتر توده‌های نفوذی تزریق شده در این نوار دگرگونی، ترکیبی از گراناتیوپیدها و رخمنونهای کوچک مافیک که بررسی‌های سنگ‌شناسی و زمین‌شناسی آن به عنوان حلقة‌ای از زنجیر مطالعاتی زون سنتدج - سیرجان (SSZ) در شکل ۱) و پیوند دهنده مطالعات پیشین روی توده‌های نفوذی بروجرد و همدان می‌باشد (گودرزی، ۱۳۷۴؛ صادقیان، ۱۳۷۴؛ سپاهی گرو، ۱۳۷۸؛ احمدی خلجمی، ۱۳۸۵). یکی از مسائلی که در بررسی‌های صحراوی منطقه جالب و مهم به نظر می‌رسد، حضور بیگانه سنگ‌های متاپلیتی و انکلاوهای ماقمایی با اشکال و اعاده متفاوت و بویزگی‌های ظاهری متمایز نسبت به هم و نسبت به میزبان، با توزیع فضایی خاص و به طور تقریبی سامان‌مند است. لزوم بررسی انکلاوهای به عنوان ابزاری در بررسی نحوه زایش و تحول مذاب‌های گراناتی و در کل، مطالعه تاریخچه تحولی سنگ میزبان بسیار حیاتی است. حضور انکلاوهای سال‌های قبل برای اولین بار توسط (Hutton 1795) مورد توجه قرار گرفت و (Lacroix 1893) مسیر این پژوهش را بر روی دیگران گشود و زان دیدیه و برنارد باربارین در طی سال‌های بعد با انجام فعالیت‌های بی دربی در این زمینه، خود را به عنوان متخصصان جهانی انکلاوهای مطرح نمودند. بدین ترتیب و با وجود اهمیت مسئله و مطالعات گسترده انجام شده و در حال انجام، نباید از کنار انکلاوهای منطقه به راحتی گذشت و به همین دلیل سعی شد از جنبه‌های مختلف و در حد امکان به بررسی منشأ این انکلاوهای ماقمایی و بیگانه سنگ‌های دگرگونی پرداخته شود.

۲- معرفی احداثی آذرین نفوذی منطقه

بر اساس مشاهدات صحراوی و بررسی‌های میکروسکوپی مجموعه نفوذی ملایر را

زیر کن، اسفن است. در مشاهدات میکروسکوپی برخی از این نمونه‌ها مرز مشخصی بین انکلاوهای میزبان وجود نداشته و نوعی آمیختگی بین آنها دیده شود که عدم وجود مرز قابل تشخیص در مشاهدات صحرایی، بازتاب وضعیت یاد شده در مقیاسی بزرگتر است.

۲-۳. انکلاوهای ریزدانه مافیک

انکلاوهای از لحاظ کانی‌های اصلی، تفاوت زیادی با میزبان خود نداشته و تنها نسبت حجمی متفاوتی از کانی‌های میزبان را در خود جای داده‌اند (Barbarin et al., 1989). کوارتز، پلاژیوکلاز، فلدسپار قلیابی (ارتوكلاز-میکروکلین)، بیوتیت، هورنبلند، سبز، آپاتیت، زیرکن، کانی کدر در قالب مجموعه‌های دیوریتی، کوارتز دیوریتی، مونزودیوریتی و کوارتزمونزودیوریتی در این انکلاوهای قابل دیدن هستند. انکلاوهای ریزدانه مافیک مرز مشخصی با میزبان داشته و در مشاهدات میکروسکوپی با حرکت از سمت انکلاو به میزبان، در محدوده میزبان اندازه کانی‌ها افزوده می‌شود. سوزن‌های آپاتیت به صورت میانبار در بیوتیت و فلدسپارها به فراوانی دیده می‌شوند و افزون بر آنها کانی‌های خودشکل و مستقل آپاتیت نیز در متن سنگ حضور دارند. فاز فرعی دیگری که به صورت میانبار، پیشتر در بیوتیت‌ها دیده شده، زیرکن است. ساختار پوکیلیتیک، بافت میرمکیتی و حضور پریتی، میکروپریتی و کوارتزهای رگچه‌ای تجدید تبلور یافته، در آنها قابل تشخیص است. در بیشتر نمونه‌های انکلاوهای، دگرسانی‌های پتاسیک و سدیک همگام با میزبان صورت پذیرفته است و تشکیل بیوتیت‌های ثانوی، کلریت، سریسیت، اسفن، اکسیدهای آهن و روتبیل به قوع این نوع دگرسانی‌ها در کانی‌های اولیه مانند هورنبلند سبز، بیوتیت، پلاژیوکلاز و ارتوكلاز و رهایی Na, K, Ca, Fe, Mg و انتقال برخی از آنها (عنصر متخرک) به وسیله سیال‌های مگمایی یا جوی مربوط است.

۳-۳. بیگانه‌سنگ‌های متاپلیتی

این بیگانه‌سنگ‌ها ویژگی‌های کانی‌شناسی و بافتی یکواختی داشته و تفاوت‌های موجود، به تنوع کانی‌های دگرگونی در آنها مربوط است. بیگانه‌سنگ‌های یاد شده بافت ریز بلور، هم بعد، متراکم و درهم تنیده (هورنفلسی) داشته و کانی‌های دگرگونی شاخص آن سیلیمانیت (در مقطع نازک به صورت فیروولیتی)، آندالوزیت (باگت مانند) و گارنیت (بلورهای شش‌گوش) در زمینه ریز بلور از کانی‌های کوارتز، بیوتیت، پلاژیوکلاز، فلدسپار قلیابی (ارتوكلاز) و به ندرت هورنبلند سبز (ترمولیت- اکتینولیت) هستند. البته کانی‌های دگرگونی یاد شده در همه نمونه‌ها دیده نمی‌شوند و مجموعه کانی‌شناسی معمول آنها، همان ترکیب ساده یک سنگ گرانیتی است. در واقع این بیگانه‌سنگ‌ها، فلدسپاری و سرشار از میکا هستند.

۴- بحث

۴-۱. مشاهدات صحرایی و بررسی‌های آزمایشگاهی

همان‌طور که بیان شد، سنگ‌شناسی چیره، در میان رخمنونهای توده‌های آذرین نفوذی ملایر، گرانودیوریت‌ها و مونزو-سینوگرانیت‌ها هاستند. گستره رخمنونهای گرانودیوریتی نسبت به مونزو-سینوگرانیت‌ها وسیع‌تر بوده و افزون بر این واحدها سنگ‌های توپالیتی به طور موضعی و به صورت سری‌های تحولی بدون هیچ گونه مرز مشخصی در کنار گرانودیوریت‌ها حضور دارند. بدون شک مهم ترین واحدهای آذرین منطقه یاد شده، توده گابریو-دیوریتی ارگس سفلی است زیرا تنها توده مافیک منطقه مورد مطالعه بوده و مهم‌ترین شاهد برای حضور مگمایی گوشه‌ای در جریان تحولات مگمایی منطقه است که همان‌طور که پیشتر بیان شد با توجه به وضعیت بافتی، کانی‌شناسی و شواهد صحرایی همچون حضور دایک‌های دولریتی و لامپروفیری در پیرامون آن، به نظر می‌رسد پدیده آمیختگی بین مگمایی مافیک و فلزیک در تشکیل آن نقش داشته است. گرانودیوریت‌ها و مونزو-سینوگرانیت‌ها برخلاف توده گابریو-دیوریتی و دیوریت‌ها دارای انکلاوهای مگمایی و بیگانه‌سنگ‌های دگرگونی بوده و فراوانی، اندازه، شکل

آن چشمگیر است. فازهای فرعی آن سوزن‌های آپاتیت، به صورت میانبار در فلدسپار قلیابی و بیوتیت، زیرکن و اسفن هستند.

بخش‌های دیوریتی تا گابریو-دیوریتی به صورت چند توده با رخمنون طویل چند صدمتری و رنگ به طور کامل تیره و ظاهری شبیه به هورنفلس حضور دارند. مجموعه کانی‌شناسی دیده شده در آنها شامل کوارتز، پلاژیوکلاز، فلدسپار قلیابی، بیوتیت، هورنبلند سبز، پیرو-کسن (اوژیت)، آپاتیت، اسفن و زویزیت و افزون بر این، کانی‌های کادر و کلریت و سریسیت در دیوریت‌ها و اولیوین، هورنبلند سبز، پیرو-کسن، کوارتز، پلاژیوکلاز، ارتوز، آپاتیت و کانی کدر در گابریو-دیوریت است (شکل ۲-a,b,d,e). این سنگ‌ها بافت ریزدانه تا پورفیروییدی نشان می‌دهند و کانی‌ها در مقطع میکروسکوپی آنها، دانه‌ای نیمه خودشکل هستند. نکته قابل توجه در بررسی میکروسکوپی توده گابریو-دیوریتی، مجموعه کانی‌شناسی غیرمعمول، اولیوین‌هایی با هضم شدگی و گردش دگرگی مشخص و حاشیه واکنشی در مقابل با پلاژیوکلازهای غنی از کلسیم (تشکیل هورنبلند سبز و اسپینل) است (شکل ۲-e,f). که نشان‌دهنده حضور آنها به صورت بیگانه‌بلور و ناپایداری آنها در محیط است. بررسی‌های سن‌بایی در گستره بخش شمالی زون سنتنگ-سیرجان نشان داده است که رخمنونهای مافیک سن بیشتری نسبت توده‌های فلزیک مجاور خود دارند (برای مثال: Valizadeh & Cantagral, 1975; Mazhari, 2008) و توده مافیک یاد شده و دایک‌های دولریتی مجاور آن نیز احتمالاً همانند وضعیت توده‌های مافیک در مناطق مجاور در گستره زون سنتنگ-سیرجان (همانند گرانیتویید بوین-ماندشت؛ ولیزاده و قاسمی، ۱۳۷۲؛ با تولیت‌الوند: سیاهی گرو، ۱۳۷۸؛ گابریو-چشمۀ قصابان؛ صادقیان، ۱۳۷۴) اولین فاز تزریقی بوده‌اند و تزریق گرانیت‌ها پس از آنها صورت گرفته است. اما وجود شواهد بافتی و کانی‌شناسی یاد شده، بیانگر تقابل بین مذاب مافیک و فلزیک قبل از پایان مراحل تکوین مگمایی مافیک (نیمه متبلور) و جایگزینی نهایی آن است. حضور اولیوین‌های هضم شده در یک مجموعه کانی‌شناسی نامتجانس و مشاهده کانی‌های کدر (شکل ۲-e,f) در امتداد ترک‌های سطح اولیوین و آپاتیت‌هاوسوزنی شکل موجود در فلدسپار قلیابی بیانگر تداخل بین مذاب مافیک نیمه متبلور (با درجه حرارت بالا) و مگمایی فلزیک (با درجه حرارت کمتر) و رشد سریع و همچنین صعود ناگهانی یک مجموعه هیربرید است (D' Lemos, 1996) که این موردنیچ گونه تناظری با سن جایگزینی توده‌های مافیک و فلزیک نداشته و افزون بر این شاهدی بر نقش مگمایی مافیک در تشکیل گرانیت‌های منطقه است و بهترین تحلیل برای نحوه تشکیل این توده تقابل بین حجم بالایی از مذاب مافیک نیمه متبلور در حال صعود با حجم ناچیزی از مذاب گرانیتی است (که خود محصول ذوب نهشنه‌ها و سنگ‌های پوسته‌ای مسیر صعود مگمایی مافیک هستند).

رگه‌های آپلتی، پگماتیتی، کوارتزی و کوارتز-تورمالین دار به فراوانی و با سبک‌های متغیر، از یک سانتی متر تا نزدیک به یک متر در هر سه بخش دیده شده است.

۳- انکلاوهای مگمایی و بیگانه‌سنگ‌های متاپلیتی

انکلاوهای مگمایی بر اساس مطالعات کانی‌شناسی و شیمیابی، شکل، رنگ، بافت به دو نوع ریزدانه مافیک (با ترکیب کانی‌شناسی دیوریت، کوارتزدیوریت، مونزونیت و کوارتزمونزونیت) و فلزیک (گرانودیوریت، سینوگرانیت) تقسیم شده‌اند و وجه تمایز آنها از بیگانه‌سنگ‌های متاپلیتی، بافت هورنفلسی و غیر مگمایی بیگانه‌سنگ‌ها و حضور برخی کانی‌های خاص رخساره‌های دگرگونی در بیگانه‌سنگ‌ها است.

۳-۱. انکلاوهای مگمایی فلزیک

از لحاظ مجموعه‌های کانی‌شناسی، انکلاوهای مگمایی فلزیک با میزبان خود همانگ بوده و کانی‌های موجود در آنها شامل کوارتز، پلاژیوکلاز، فلدسپار قلیابی، بیوتیت، آپاتیت،

مجموعه (بیگانه‌سنگ و میزبان) و نشانه طویل شدگی مرتبط با تنش های پس از انجماد است. عدم مشاهده جهت یافته‌گی های مرتبط با تنش های پس از سرد شدن در بیگانه‌سنگ هورنفلسی و سنگ میزبان آنها (نیود شواهد ایجاد تغیر شکل پلاستیک و دگرشکلی حالت جامد) در مقیاس ماکروسکوپی و میکروسکوپی، همراه با نسبت ظاهری بالای آنها در حاشیه‌های توده و بویژه در محل تماس با واحدهای دگرگونی را می‌توان به جریان ماقمایی قوی در محل تماس مذاب گرانیتی با سنگ‌های دگرگونی و عدم مشاهده جهت یافته‌گی های موجود در سنگ دگرگونی منشأ را در آنها، می‌توان به ازین رفتین ساختارهای یاد شده تحت تأثیر حرارت ماقمایی میزبان نسبت داد.

اشکال متعدد مشاهده شده در انکلاوهای ماقمایی مافیک را نیز بدین شکل می‌توان تحلیل نمود:

- انکلاوهایی که در سنگ‌های میزبان جهت یافته و دگریخت حضور دارند و طویل شدگی اندکی در جهت برگوارگی میزبان نشان می‌دهند، با وجود این که در مقیاس ماکروسکوپی به دلیل ریز بلور بودن جهت یافته‌گی مشخصی نشان نمی‌دهند، در مقیاس میکروسکوپی شواهد تغیر شکل در حالت جامد و تأثیر تنش بر آنها آشکار است. کوارتزهای دوباره تبلور یافته منفرد و رگه‌ای با خاموشی موجی، خرد شدگی در حاشیه درشت‌بلورهای کوارتز و فلدسپار، ماکل مشبک (تارتن) در میکروکلین، هم‌رشدی میرمکیتی در پلازیوکلازها و تغیر شکل پلاستیک در هورنبلند سبز و بیوتیت (مثلاً) حالت خم شدگی (Kinking) یا کینگ باند (شکل ۱c, ۲a, ۳c, ۴d, ۵e) بیانگر عملکرد تنش بر مجموعه انکلاو- میزبان و عامل ایجاد تغیر شکل در ابعاد ماکروسکوپی (طویل شدگی) در انکلاوهای همگام با ایجاد برگوارگی در سنگ میزبان است (۱-۴). مشاهده شواهد تغیر شکل پلاستیک در انکلاوهای طویل شده‌ای که در مقیاس میکروسکوپی شواهد جریان ماقمایی را نشان می‌دهند (فلدسپارهایی با آرایش خطی و ماکل میکروکلین و کوارتزهای طویل شده با خاموشی موجی و حاشیه‌های خرد شده) و در میزبان جهت یافته حضور دارند (۴-۵) را می‌توان به تحمیل تغیر شکل حالت جامد بر جریان ماقمایی نسبت داد که در مشاهدات صحرایی و در سنگ میزبان خود را به صورت برگوارگی (فوکلایسیون) و در انکلاو (مقیاس ماکروسکوپی) به صورت حاشیه‌های دندنه‌ای نشان می‌دهد (Vernon, 2000). وجود رگه‌های کوارتزی و کوارتزهای طویل شده در این انکلاوهای بین بلورهای اولیه و درشت‌تر فلدسپار و هورنبلند سبز محصور شده‌اند بیانگر حضور سیال‌های ماقمایی در مراحل اولیه شروع دگریختی بوده و نشانه حالت نیمه مذاب انکلاو در این زمان است (شکل ۵-۶).

- ۲- اشکال کروی، بیضوی، دوکی دیده شده در انکلاوهای ریزدانه مافیک در میزبانی که فاقد هر گونه جهت یافته‌گی و یا شواهد تأثیر تنش بر مجموعه انکلاو- میزبان در ابعاد نمونه دستی و رخمنون که میکروسکوپی در آنها دیده نمی‌شود به جریان ماقمایی و تقابل دو مذاب با ماهیت شیمیایی و رثولوژیکی متفاوت نسبت داده شده است. به عقیده سیاری از محققان (Silva et al., 2000; Kumar & Rino, 2000; Vernon, 2000) جهت یافته‌گی مشخص کانی‌هایی مثل بیوتیت و پلازیوکلاز و چرخش، جدایش و کنده‌شدن برخی درشت بلورهای میزبان (پلازیوکلاز) در مز انکلاو- میزبان به حضور انکلاو و میزبان به صورت بسته‌ها یا گلبوی‌هایی از ماقمایی مافیک درون ماقمایی فلزیک میزبان اشاره می‌کند (Kumar et al., 2004; Arvin et al., 2004; Silva et al., 2004). افزون بر این، آرایش خطی تجمعات پلازیوکلاز و ورقه‌های بیوتیت (Paterson et al., 1989; Vernon, 2000) در مز انکلاو- میزبان و درون انکلاو و انحراف و جدایش درشت‌بلورهای میزبان در منطقه مرزی و رشد پوششی کانی‌های سازنده انکلاو در کارهای شواهد جریان ماقمایی بوده (شکل ۱a-۵i, h, f, g, b, e)

و نحوه پراکندگی آنها در درون توده‌های یاد شده موجب شده تا ماهیت حضور و نحوه تشکیل آنها قابل تأمل باشد. در این مطالعه، منشأ انکلاوهای ماقمایی و بیگانه‌سنگ‌های دگرگونی از طریق بررسی ویژگی‌های کانی‌شناسی و بافتی (ربیزسانخاری)، شکل و توزیع مکانی آنها در توده، وضعیت شیمیایی (در مورد انکلاوهای ماقمایی)، بررسی شده است.

بورسی‌های صحرایی

بانجام‌بررسی‌های صحرایی سامان‌مندوث اطلاعات مریوط به انکلاوهای و بیگانه‌سنگ‌ها و ایجاد شبکه نمونه‌برداری برای رخمنون‌های قابل دسترسی (به منظور مقایسه فراوانی نسبی انکلاوهای در رخمنون‌های مختلف و رسم نقشه پراکندگی نمونه‌برداری)، شکل و تعداد کافی مقاطع نازک از آنها برای بررسی‌های میکروسکوپی و انتخاب نمونه‌های مناسب، برای تجزیه شیمی سنگ کل و تحلیل اطلاعات به دست آمده تایی زیر به دست آمد (شکل ۱). بررسی‌های نشان داده‌اند که رخمنون‌های گرانودیوریتی از لحاظ فراوانی نسبی انکلاوهای ماقمایی و بیگانه‌سنگ‌های هورنفلسی بر مونزو- سینوگرانیت‌ها برتری داشته و تنوع بالاتری از لحاظ شکل، کانی‌شناسی، شیمی انکلاوهای ماقمایی در آنها دیده شده است. بیشتر انکلاوهای فلزیک که کانی‌شناسی، رنگ و شیمی مشابهی با میزبان نشان می‌دهند، شکل خاصی ندارند و در حاشیه بخش‌های گرانودیوریتی و مونزو- سینوگرانیتی بیشتر دیده می‌شوند، اما برخلاف آنها، انکلاوهای ریزدانه مافیک، رنگ تیره‌تر، بافت ریزدانه‌تر، نسبت مدارانه مافیک بالاتر و شیمی متفاوتی نسبت به میزبان داشته و در بخش‌های حاشیه‌ای تا درونی تر میزبان‌های گرانودیوریتی و مونزو- سینوگرانیتی حضور دارند. با توجه به مز مشخصی که انکلاوهای ریزدانه مافیک و میزبان را از هم جدا می‌نماید (در مقیاس ماکروسکوپی و میکروسکوپی) می‌توان به این نتیجه رسید که ماقمایی منشأ انکلاوهای ماقمایی مافیک از لحاظ گرانزوی با ماقمایی میزبان تفاوت قابل توجهی داشته است. این انکلاوها برخلاف انکلاوهای فلزیک، اشکال متعدد کروی، بیضوی، عدسی‌شکل دارند که این عدسی‌ها در بخش‌های حاشیه‌ای توده نسبت به بخش‌های درونی تر آن طویل شدگی کمتری داشته و نسبت محور طولی ظاهری به محور عرضی ظاهری آنها از ۵ تجاوز نمی‌کند (Aspect Axial Ratio<5)، بیگانه‌سنگ‌های متابلتی در بخش‌های حاشیه‌ای، به فراوانی یافت می‌شوند و بیشتر فاقد شکل مشخصی بوده و گاه به صورت عدسی‌های طویل شده در امتداد محور طولی ظاهری خود (بررسی‌های یاد شده در دو بعد صورت گرفته است) با نسبت طویل شدگی، ظاهری بیش از ۱۰ در بخش‌های درونی تر توده از فراوانی آنها به شدت کم می‌شود و در واقع به ندرت حضور دارند (جدول ۱، شکل ۳). منطقه اصلی تمکرانکلاوهای ماقمایی و بیگانه‌سنگ‌های دگرگونی در حاشیه توده‌های است، که افزون بر انکلاوهای ماقمایی و بیگانه‌سنگ‌های دگرگونی، بیگانه‌بلورهای (به طور عمد آندالوزیت و گارنت) که محصول هضم واحدهای دگرگونی مجاور توسط ماقمایی توده نفوذی میزبان هستند نیز دیده شده‌اند (شکل ۴-a) و با حرکت به بخش‌های مرکزی تر توده از فراوانی آنها کاسته می‌شود.

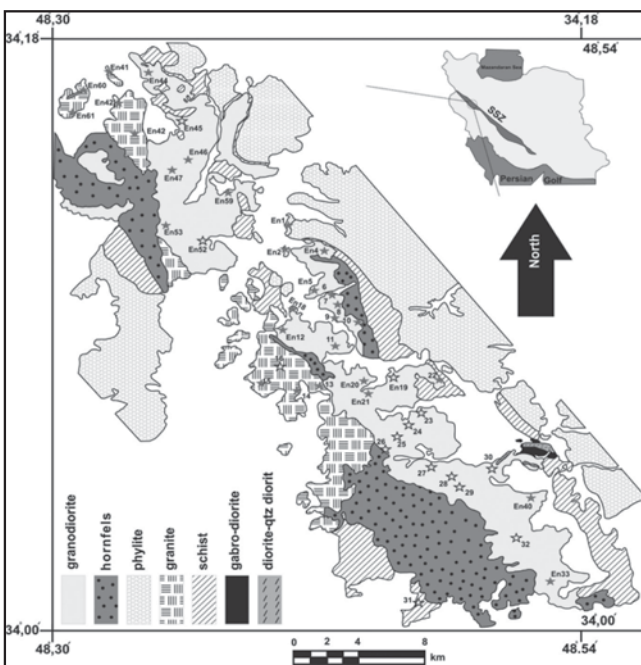
بورسی‌های آزمایشگاهی

مطالعه میکروسکوپی: با توجه به مشاهدات صحرایی و شواهد ریز ساختاری برای توجیه نسبت محوری ظاهری (Aspect Axial Ratio) بالای دیده شده در بیگانه‌سنگ‌های هورنفلسی دو عامل زیر در نظر گرفته شده است:

- با توجه به این که بیشتر آنها درون میزبان‌هایی وجود دارند که تحت تأثیر تنش های زمین‌ساختی قرار گرفته‌اند، تا حدودی دگریخت شده و برگوارگی طریفی نشان می‌دهند و محور طولی طویل شدگی آنها و امتداد برگوارگی سنگ میزبان هم جهت است. بررسی مقاطع میکروسکوپی تهیه شده از این بیگانه‌سنگ‌ها با شواهدی همچون حضور کوارتزهای دوباره تبلور یافته با خاموشی موجی، خرد شدگی مشخص در حاشیه بلورهای کوارتز و فلدسپار و ماکل تارتن در فلدسپار (میکروکلین) بیانگر وقوع تنش در حالت جامد بر این

در حال سرد شدن است. وجود شواهد مکروسكوپی (شکل انکلاو) و ریزساختاری جریان مگمایی در انکلاوها همراه با تغییر شکل‌های پلاستیک حالت جامد بیان گر عملکرد تنش‌های زمین‌ساختی در حضور ماده مذاب و یا پیش از انجداد کامل است. - اشکال کروی، بیضوی و دوکی شکل انکلاوهای مگمایی مافیک با شواهد مشخص جریان مگمایی در مقیاس میکروسکوپی و ریخت‌شناسی مرزانکلاو-میزانکلاو در مشاهدات صحرایی و میکروسکوپی در کنار تفاوت‌های کانی‌شناختی و ژئوشیمیایی مطرح شده می‌تواند نتیجه حضور این انکلاوها به صورت بسته‌های مگمایی مافیک‌تر نسبت به مگمایی میزان، در آن باشد و نشانه‌ای بر آمیختگی مگماهای فلزیک و مافیک است. - با توجه به شواهد موجود بیگانه‌سنگ‌های متاپلیتی سرشار از میکا و فلدسپار محصول هضم واحدهای شیستی و هورنفلسی مسیر تزریق و صعود مذاب گرانیتی بوده اما بیشتر بیگانه‌سنگ‌ها فاقد جهت یافته‌گی‌های (شیستوزیت) مشاهده شده در سنگ‌های دگرگونی ناحیه‌ای منطقه و منشأ احتمالی خود هستند که این موضوع را می‌توان به تأثیر حرارتی مگمایی میزان بر قطعات سنگ‌های دگرگونی فروافتاده و در برگرفته شده توسط آن نسبت داد. حضور این بیگانه‌سنگ‌ها و بیگانه‌بلورهایی که محصول ذوب شدن و هضم پیشرفت‌های آنها هستند، بیانگر جایگزینی مذاب گرانیتی در ترازهای بالای پوسته‌ای است. - حضور انکلاوهای مگمایی فلزیک با ترکیب کانی‌شناختی مشابه میزان و روندهای ژئوشیمیایی مشابه با آن در بخش‌های حاشیه‌ای نشانه منشأ یکسان آنهاست. حضور این انکلاوها در توده نفوذی به گسیختگی‌های حاشیه‌ای در اثر ضربان‌های تزریق بی در پی در فازهای اولیه و سقف توده نفوذی نسبت داده‌اند.

- مشاهده انکلاوهای مگمایی فلزیک و مافیک (افزون بر وجود دایک‌های دولیتی و لامپروفیری و توده گابرو-دیوریتی) و بیگانه‌سنگ‌های هورنفلسی در توده‌های نفوذی گرانیتی مجموعه نفوذی ملایر به ترتیب نشانه حاشیه‌های فلزیک‌تر توده نسبت به بخش‌های مرکزی‌تر، نقش مذاب مافیک گوشه‌ای در تشکیل مگمایی گرانیتی و زرفای جایگزینی کم مذاب گرانیتی است.



شکل ۱- نقشه پراکندگی انکلاوهای مگمایی و بیگانه‌سنگ‌های دگرگونی در واحدهای گرانیتی منطقه ملایر. ستاره‌های توپر: حضور انکلاوهای مگمایی و یا بیگانه‌سنگ هورنفلسی. ستاره‌های توانایی: عدم مشاهده انکلاو مگمایی در رخمنون (برگرفته از نقشه ۱:۱۰۰۰۰ ملایر، تهیه شده در سازمان زمین‌شناسی و اکتشاف معدنی کشور با اندکی تغییر)

وجود مرز مشخص و قدرتمند در مقیاس مکروسكوپی نیز تأییدی بر اختلاف اساسی گرانیتی مذاب منشأ آنها نسبت به هم است (Blake & Fink, 2000). موارد یاد شده در توجیه اشکال دیده شده از انکلاوها و بیگانه‌سنگ‌ها تها بخشی از عوامل تأثیرگذار بوده و می‌توان عواملی همانند مدت زمان همیستی بین قطعات منشأ بیگانه‌سنگ‌ها با مگمایی میزان و اختلاف دمایی بین بسته‌ها یا گلوله‌های مگمایی مافیک با مذاب فلزیک و وضعیت رئولوژیکی مگمایی هیرید را نیز به آنها اضافه نمود.

شیمی انکلاوهای مگمایی و سنگ میزان: بررسی نتایج تجزیه شیمیایی و نمودارهای رسم شده بر اساس آنها نشان دهنده (نتیجه تجزیه XRF نمونه‌ها در جدول ۲) تمايز مشخص بین روندهای مشاهده شده از انکلاوهای مگمایی مافیک و سنگ‌های میزان و شیاهت‌های عمدی بین انکلاوهای فلزیک و میزان است. مقادیر بالاتر اکسیدهای FeO_(t), MgO, CaO, MnO, TiO₂ در میزان‌ها و همسان بودن تقریبی مقادیر اکسیدهای K₂O و Na₂O و بیشتر بالاتر SiO₂ در میزان‌ها و همسان بودن تقریبی مقادیر اکسیدهای K₂O و Na₂O و پراکندگی اکسیدهای FeO_(t), MgO, CaO و پراکندگی اکسیدهای K₂O در نمودارهای هارکر و همچنین شbahت الگوی نمودار عنکبوتی آنها به ترتیب عناصر کمیاب بین میزان و انکلاوهای مگمایی، با توجه به روندهای خطی دیده شده در الگوی تغییرات اکسیدهای Ni, Cr و FeO_(t) در نمودارهای هارکر و همچنین شbahت الگوی نمودار عنکبوتی آنها به ترتیب به موقع پدیده آمیختگی مگمایی و همگن شدگی ترکیبی وسیع بین مگمایی میزان و انکلاو مگمایی نسبت داده شده است. افزون بر این در بررسی عناصر کمیاب (شکل ۶) بین عناصر Ni, Cr و FeO_(t) در انکلاو همبستگی مناسبی وجود داشته و شب تغییرات آنها منفی است و کاهش پیش‌رونده مقادیر V, Cr, Co از انکلاو به میزان با افزایش SiO₂ نشانه‌ای برای منشأ مافیک انکلاوهای مگمایی یاد شده است (برای مثال: Kumar & Rino, 2006). از جمله تفاوت‌های بین انکلاوهای مافیک و فلزیک، ماهیت متاآلومین و کلسیمی-قلایابی تا کلسیمی انکلاوهای مافیک در مقابل ماهیت پرآلومین انکلاوهای فلزیک است (شکل ۷ و ۸). بیشتر نمونه‌های سنگ‌های میزان کلسیمی-قلایابی پتانسیم بالا بوده و بجز دو نمونه که در محدوده پرآلومین قرار گرفته‌اند، بقیه نمونه‌ها متاآلومین هستند. ماهیت کلسیمی-قلایابی نمونه‌های میزان با حضور انکلاوهای مگمایی مافیک در آنها سازگار است، زیرا تجربه نشان داده است که بیشتر توده‌های نفوذی کلسیمی-قلایابی دارای انکلاوهایی هستند که اختلاف ژئوشیمیایی مشخصی با سنگ میزان خود نشان می‌دهند و محصول تقابل مگمایی گوشه‌ای و مذاب پوسته‌ای هستند (Arslan & Aslan, 2005; Bonin, 1990).

همانگی الگوی تغییرات اکسیدهای عناصر اصلی (شکل ۹) در انکلاوهای فلزیک و روند تغییرات مشاهده شده در سنگ‌های میزان در برابر روند صعودی SiO₂ در کنار نزدیکی‌های کانی‌شناختی و توزیع مکانی آنها در توده میزان موجب شده تا آنها به گسیختگی‌های احتمالی در بخش‌های حاشیه‌ای توده نفوذی در طی مراحل مختلف تزریق مگمایی نسبت داده شوند (برای مثال: Donaire et al., 2005).

۵- نتیجه‌گیری

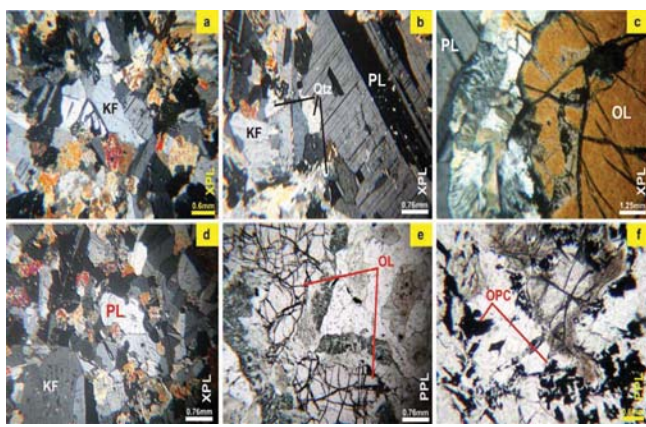
- برمبانی مطالعات صحرایی و بررسی شکل، پراکندگی مکانی، فراوانی انکلاوهای مگمایی و بیگانه‌سنگ‌های دگرگونی مشخص شد که با حرکت از رخنمونهای حاشیه‌ای به سمت بخش‌های درونی تر توده از فراوانی، ابعاد، طویل شدگی و تنوع آنها کاسته می‌شود. کاهش چشمگیر تعداد و ابعاد آنها در بخش‌های درونی توده را می‌توان به جهت افت حرارتی مذاب از حاشیه به مرکز و در نتیجه تأثیر حرارتی طولانی تر مذاب در بخش‌های درونی توده بر بیگانه‌سنگ‌های دگرگونی و همچنین افزایش مدت زمان واکنش‌های دو جانبه بین بسته‌های مگمایی مافیک و مذاب گرانیتی نسبت داد. طویل شدگی در بخش‌های حاشیه‌ای زمین‌های زیرهای زمین‌ساختی و همچنین جریان مگمایی قوی در این بخش نسبت به بخش‌های درونی تر توده مگمایی

جدول ۱- کمترین و بیشترین نسبت طول ظاهری به عرض ظاهری، بالاترین و پایین ترین میزان اندازه گیری شده برای اندازه محور طولی ظاهری انکلاوهای ماگمایی (En) و بیگانه سنگ‌های دگرگونی (X)

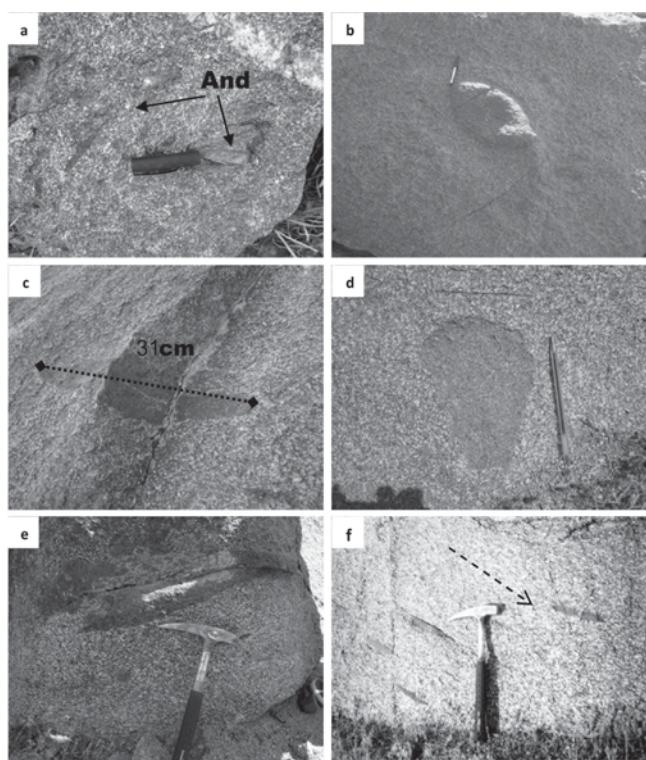
Name of Stations	A.R(max)	A.R(min)	Longitudinal axis/cm
EnS-59	3	2.4	10-75
EnS-46	5.58	4.1	10-75
EnS-42	6.5	5	10-75
EnS-47	9	18	10-75
EnS-4	2.73	1.57	2-20
EnS-22	1.45	1.1	2-20
EnS-15	3.5	1.05	2-20
EnS-1	3.71	1.2	2-20
EnS-2	1.8	1.2	2-20
EnS-18	1.3	1.1	2-20
EnS-5	5.4	1.47	2-20
EnS-41	3.42	2.5	2-20
EnS-50	5	1.1	2-20
XS-62	10	8	40-80
XS-48	7.5	2.73	40-80

جدول ۲- نتایج تجزیه شیمیایی (XRF) انکلاوها و میزان گرانیتوییدی آنها (عناصر اصلی بر حسب درصد وزنی و عناصر کمیاب (ppm

	انکلاوهای مافیک										میزان‌ها			
	EN-46	EN-40	EN-59	EN-15	EN-5	EN-42	EN33-b	EN33a	EN-22	En-1	G-46	G-59	G-42	G-15
SiO ₂	53.00	57.56	56.11	59.90	52.21	56.92	54.67	55.59	52.80	55.66	66.1	66.3	61.5	66.0
Al ₂ O ₃	18.75	15.18	14.70	14.02	10.92	14.88	12.20	12.79	11.35	13.04	11.7	12.3	13.2	12.0
FeO*	7.22	11.23	11.92	10.81	12.86	11.54	12.14	12.55	8.11	11.88	6.5	5.2	7.7	6.7
MgO	3.73	2.32	3.36	2.87	5.94	3.86	5.78	3.77	11.80	5.58	3.0	2.7	4.3	2.3
CaO	6.42	3.69	4.02	4.53	10.24	4.19	8.51	7.12	7.41	7.64	3.1	3.8	4.7	3.8
Na ₂ O	3.85	1.49	2.09	3.19	2.01	2.51	1.81	2.10	1.27	3.41	2.5	2.6	3.0	3.0
K ₂ O	3.08	5.70	3.58	1.85	1.93	3.40	1.45	1.82	3.55	0.63	3.7	4.3	3.6	3.2
TiO ₂	0.73	1.01	0.84	0.67	0.79	0.88	0.79	0.73	0.44	0.53	1	1	1	0
MnO	0.17	0.15	0.10	0.09	0.19	0.11	0.13	0.12	0.23	0.14	0.1	0.1	0.1	0.1
P ₂ O ₅	0.47	0.13	0.20	0.26	0.20	0.24	0.16	0.16	0.04	0.09	0.2	0.2	0.2	0.2
Rb	118	192	180	142	96	182	72	84	171	53	153	152	138	149
Sr	406	147	237	292	248	237	335	322	150	197	269	291	471	298
Ni	19	24	17	16	32	20	27	16	263	43	27	19	28	18
Y	13.41	21.72	17.50	19.67	14.11	16.91	11.65	10.93	22.90	14.24	16.4	16.4	15.0	18.4
Cr	30	111	47	10	107	48	101	92	1060	423	115	32	33	26
Zr	218	209	164	232	149	162	149	139	59	178	218	214	258	219
Nb	17	23	18	23	13	16	11	10	5.90	11	15	15	20	18
Ba	899	2141	1732	1387	1640	1831	1632	1529	885	1068	1242	1082	1046	913
La	63.40	34.34	17.40	28.41	25.25	25.54	23.24	17.49	18.60	22.37	17.3	26.3	25.9	16.2
Ce	110.00	180.68	73.98	84.22	84.75	56.47	117.39	136.62	38.30	51.54	117.1	158.9	196.6	124.6
Nd	35	44	27	31	22	24	20	17	20.10	29	25	37	27	29
Sm	7.18	6.60	5.32	5.88	7.70	8.88	6.27	7.07	4.67	6.43	5.7	7.8	6.3	6.4
Tb	0.74	3.44	3.10	2.22	3.93	3.26	3.44	3.55	0.74	2.46	2.0	1.6	1.8	1.5
Yb	6.81	7.50	6.49	6.37	8.50	6.93	7.84	6.39	2.62	10.11	7.8	6.8	8.0	6.6
Hf	3.80	4	4	4	6	4	6	6	1.80	4	7	4	5	4
Ta	0.6	1.0	1.1	1.1	1.1	0.9	0.9	1.0	0.40	0.85	0.98	0.91	0.99	1.08
Eu	1.24	3	2	2	4	2	3	2	0.59	3	1.00	1.00	1.00	1.00
V	129	117	92	72	92	98	92	84	195	58	65	56	56	46
Pb	11	43	25	36	30	28	23	20	15	40	45	44	28	42
Cu	43	9	10	6	23	10	23	24	47	7	27	10	12	8
Co	18	25	23	17	28	23	24	25	37	19	15	12	14	11
Zn	63	107	78	71	84	76	77	80	93	73	72	63	69	65
Cs	2.67	47.50	19.54	14.05	27.76	23	16.47	20.62	10.25	15.51	13.5	8.0	9.7	3.9
Ga	5.99	21	22	23	22	22	21	21	14.40	26	23	24	23	24
Mo	2	3	4	3	4	4	4	4	2	3	3	3	3	3
Sn	1	6	6	6	6	6	6	6	2	6	6	6	6	6
Th	14.05	25	16	21	6	15	6	5	6.34	14	19	24	20	21
Sc	3	2	3	3	2	3	4	3	2	3	3	2	3	2

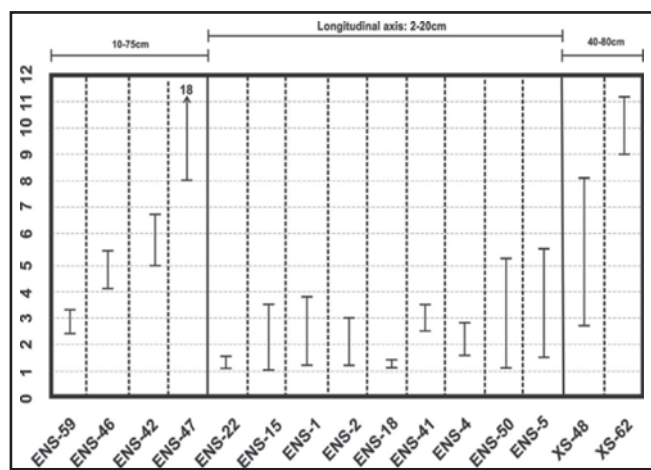


شکل-۲ (a، b) تصویری از مجموعه کانی‌شناسی توده گابرو-دیبوریتی که افزون بر اولیوین‌های تحلیل رفته، ارتوکلاز و پلازیوکلاز و کوارتر نیز قابل مشاهده‌اند، (c) تصویری از حاشیه واکنشی کانی اولیوین، (d) تصویری دیگر از نمونه یاد شده و مشاهده فلدسپار قلیابی درشت بلور (لازم به یادآوری است که به منظور تشخیص درست پلازیوکلاز و فلدسپار قلیابی از هم پرهیز از اشتباهات احتمالی از روش رنگ‌آمیزی استفاده شده است)، (e) تصویری دیگر از حاشیه واکنشی اولیوین (نور عادی)، (f) تشکیل کانی‌های کدر در ترکهای سطح اولیوین.

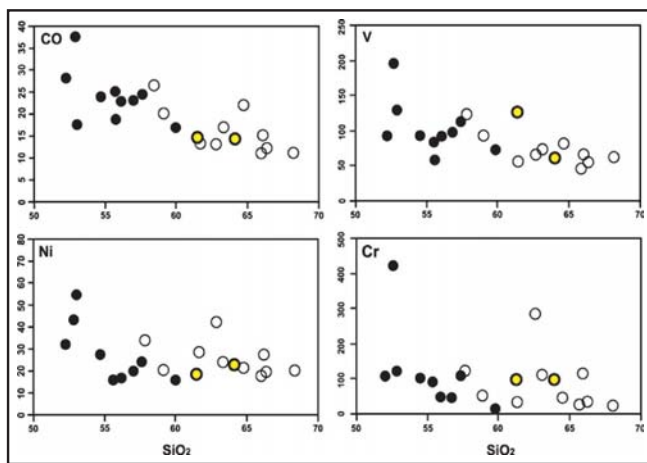


شکل-۴ - وضعیت تعدادی از انکلاوهای و بیگانه سنگ‌ها در مشاهدات صحرایی. (a) بیگانه بلور (ذینوکریست) آندالوزیت (And) در گرانیتی که شیسته‌های آندالوزیت‌دار مسیر صعود خود را هضم نموده است (بقایای برگ‌وارگی شیسته‌های یاد شده در سنگ میزان بیگانه سنگ‌ها دیده شده است)، (b) انکلاو ماقمایی مافیک دوکی شکل (En₂) در میزانی که جهت یافنگی نشان نمی‌دهد، (c) انکلاو ماقمایی مافیک دوکی شکل با طویل شدگی مشخص (EnS₆) در میزانی دگریخت، (d) انکلاو ماقمایی فاسیک (EnS₇)، (e) انکلاو ماقمایی مافیک طویل شده و انحصار یافته در میزانی کاملاً جهت یافته (EnS₄₂)، (f) بیگانه سنگ‌های بهشدت جهت یافته در جهت برگ‌وارگی میزان (XS₄₈).

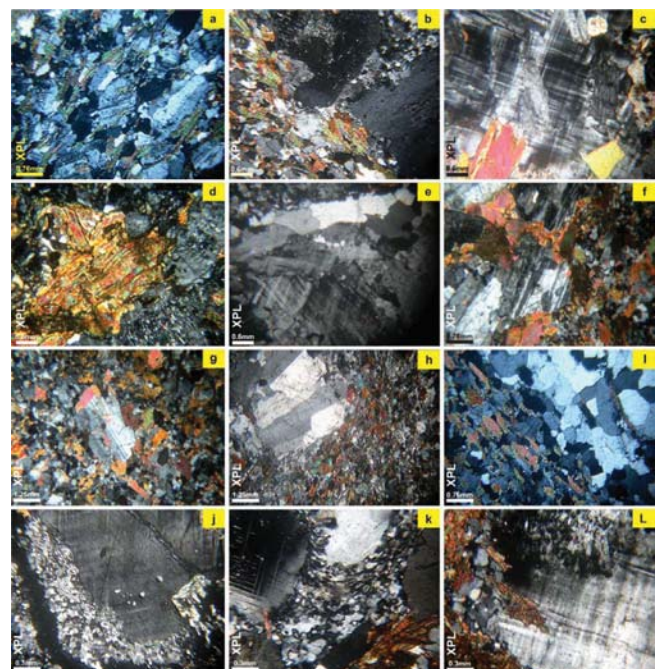
	سنگ میزان							انکلاوهای فاسیک	
	G-1	G-33b	G-22	GX-40	X-22	G-33a	G-5	F1	F2
SiO ₂	62.76	68.23	57.76	64.68	60.39	59.07	63.22	64.2	62.3
Al ₂ O ₃	11.42	13.26	15.09	16.90	12.14	12.05	11.41	15.7	16.7
FeO*	7.34	4.86	13.61	5.06	10.57	10.61	7.46	6.0	6.2
MgO	4.51	1.35	3.82	11.75	3.83	4.31	4.49	1.8	2.4
CaO	4.98	4.07	0.72	2.44	5.82	5.34	4.58	3.6	3.4
Na ₂ O	4.04	3.18	0.95	2.30	3.1	2.12	2.03	3.3	3.3
K ₂ O	1.64	2.46	6.18	3.64	2.4	2.23	3.28	2.2	2.7
TiO ₂	0.61	0.57	1.08	0.69	0.68	0.86	0.67	0.7	0.6
MnO	0.08	0.04	0.17	0.11	0.12	0.07	0.09	0.1	0.1
P ₂ O ₅	0.11	0.14	0.11	0.16	0.15	0.20	0.17	0.3	0.1
Rb	76	101	185	138	136	91	127	162.5	142.5
Sr	243	402	90	360	357	398	319	260.0	294.0
Ni	42	20	34	21	22	20	24	22.0	19.0
Y	14	11	19	18	18	9.62	15.63	27.2	17.1
Cr	284	22	121	48	63	51	110	100.0	100.0
Zr	218	294	197	109	130	206	213	235.0	145.5
Nb	14	13	19	19	17	11	14	19.0	12.0
Ba	1246	1184	2249	1502	1393	1793	1376	353.0	250.0
La	28.62	15.51	26.18	21.96	19.67	15.28	27.95	37.3	37.7
Ce	89.88	157.50	130.32	59.37	64.20	172.04	121.97	74.7	71.3
Nd	33	11	35	29	36	9	32	27.2	27.1
Sm	7.56	3.08	5.84	7.75	5	2.45	8.16	5.4	4.7
Tb	1.77	1.52	3.93	3.93	4	2.71	3.93	0.8	0.6
Yb	9.87	7.02	8.79	7.03	7	6.91	7.44	3.1	1.6
Hf	4.00	7.00	5.00	7.00	7	9	7	7.0	5.0
Ta	0.95	0.89	1.26	1.01	1	0.96	0.91	1.7	0.9
Eu	2	1	4	3	2	1	2	1.1	0.8
V	67	62	122	83	77	95	73	64.0	130.0
Pb	34	25	56	32	30	23	34	-	-
Cu	7	32	17	31	27	42	32	-	-
Co	13	11	26	22	20	20	17	14.2	14.2
Zn	70	75	98	77	75	79	75	56.0	53.0
Cs	16	16	38	20	18	21.91	20.70	9.5	7.0
Ga	24	25	21	22	22	22.00	22.00	24.0	20.0
Mo	3	3	3	4	4	3	3	-	-
Sn	6	6	6	6	6	6	6	2.0	2.0
Th	23	10	14	9	11	5	17	17.0	18.0
Sc	3	4	3	3	2	3	3	-	-



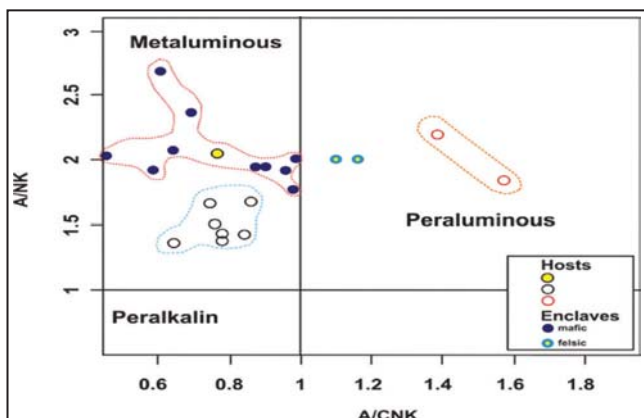
شکل-۳-نمایش ترسیمی مقادیر جدول ۱



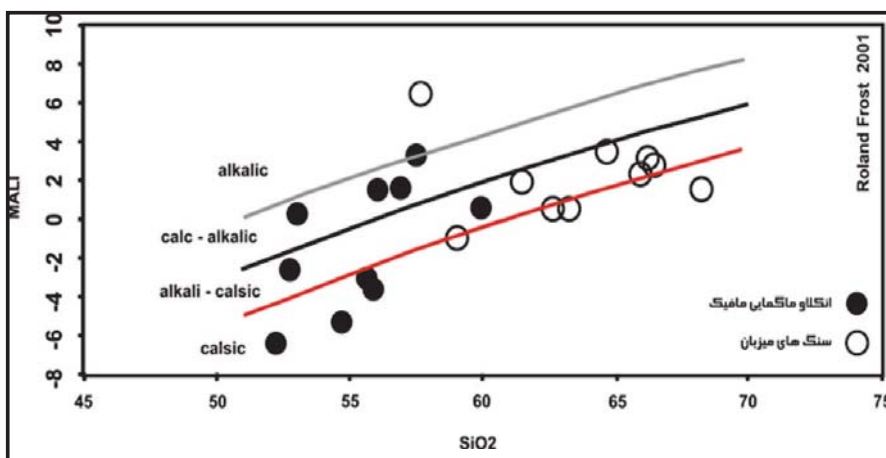
شکل ۶- نمودار روند تغیرات عناصر کمیاب یاد شده با افزایش SiO_2 (علائم: انکلاوهای مافیک (دایره توپر) و انکلاوهای فلزیک (حلقه ستبر) و میزانها (حلقه نازک))



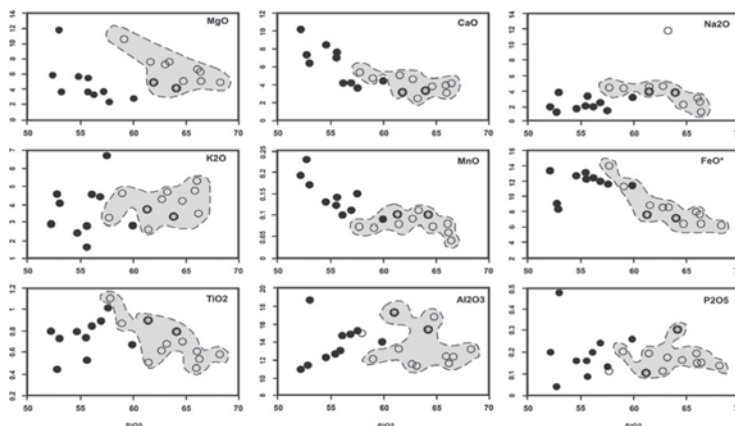
شکل ۵- تصاویری از مقاطع نازک میکروسکوپی تهیه شده از انکلاوهای ماگمایی و سنگ میزان. (a) جهت یافگی مشخص بیوتیت و فلدسپار در انکلاو، (b) آرایش خطی منظم و جهت یافگی بیوتیت و پلازیوکلаз در مرز انکلاو و میزان، معیاری برای وقوع جریان ماگمایی، (c) ماکل تارتن در میکروکلین، در سنگ میزان تکونیزه، (d) کینگ باند در بیوتیت انکلاو نشانی تغییرشکل حالت جامد است، (e) کوارترهای دوباره تبلور یافته و طویل شده و تشکیل ماکل میکروکلین در فلدسپار در مجموعه‌ای که تحت تأثیر تغییرشکل حالت جامد قرار گرفته است، (f، g) مرز انکلاو و میزان (بالای مرز، محدوده میزان است)، (h) رشد پوششی کانی‌های انکلاو روی هم و روی سطح درشت بلورهای فلدسپار در میزان بیان گر جهت جریان ماگمایی است، (i) تصویری دیگر از مرز انکلاو ماگمایی مافیک و میزان فلزیک، (j، k، l) تصاویری از خرد شدگی و کاهش ابعاد بلوری و تبلور دوباره در حاشیه فلدسپارها، همراه با تشکیل ماکل تارتن در میکروکلین در اثر عملکرد نتش بر آنها.



شکل ۷- وضعیت انکلاوهای مافیک (دایره توپر) و انکلاوهای فلزیک (حلقه ستبر) و میزانها (حلقه نازک) در نمودار Shand (1943) همان‌طور که مشاهده می‌شود، انکلاوهای فلزیک در محدوده پرآلومین قرار گرفته‌اند. این انکلاوهای مربوط به سقف و حاشیه توده هستند، ماهیت فلزیک و پرآلومین دارند.



شکل ۸- ماهیت کلسیمی- قلایی نمونه‌های میزان و پراکندگی بالاتر انکلاوهای مافیک براساس شاخص (Frost, 2001) $\text{MALI} = \text{CaO} - \text{Na}_2\text{O} + \text{K}_2\text{O}$ در برابر SiO_2



شکل ۹- نمودار روند تغییرات اکسیدهای عناصر اصلی با فرازش SiO_2 . در همه اکسیدها، انکلاوهای فلزیک در محلوده نمونه های میزان قرار گرفته اند. به روند کاهش تغییرات برای اکسیدهای $\text{FeO}_{(ij)}$, MgO , CaO , MnO و Al_2O_3 (همگام با درجه اشباع از آلومینیم) در انکلاوهای ماقمیک و مقادیر بالاتر اکسیدهای TiO_2 , MgO , CaO , MnO , TiO_2 نسبت به میزان توجه شود (علام همانند شکل ۶).

کتابنگاری

- احمدی خلجمی، ا.، ۱۳۸۵- پترولوزی توده گرانیتوییدی بروجرد. رساله دکتری. دانشکده علوم دانشگاه تهران.
- افتخارنژاد، ج.، ۱۳۶۰- تقسیم‌بندی تکتونیکی ایران با توجه به حوضه‌های رسوبی، مجله انجمن نفت ایران، صفحه ۲۸-۱۹.
- سپاهی گرو، ع.، ۱۳۷۸- پترولوزی مجموعه پلوتونیک الوند با نگرشی ویژه بر گرانیتوییدها، رساله دکتری پترولوزی، دانشکده علوم، دانشگاه تربیت معلم تهران.
- صادقیان، م.، ۱۳۷۴- بررسی پترولوزی سنگهای آذرین و دگرگونی منطقه چشم قصابان همدان، پایان‌نامه کارشناسی ارشد، دانشگاه تهران.
- گودرزی، ح.، ۱۳۷۴- ماگماتیسم و متامورفیسم منطقه ملایر- بروجرد، پایان‌نامه کارشناسی ارشد، دانشگاه تربیت معلم.
- ولی‌زاده، م.، ۱۳۷۲- پترولوزی توده گرانیتوییدی بوین- میاندشت (جنوب خاوری الیگودرز). فصلنامه علوم زمین، سال دوم، شماره ۷، ص ۷۴-۸۴.

References

- Arslan, M., Aslan, Z., 2006- Mineralogy, Petrography and whole – rock geochemistry of the tertiary granitic intrusion in Eastern Pontides , Turkey. Journal of Asian Earth Sciences 27:177-193
- Arvin, M., Dargahi, S., Babaei, A. A., 2004- Petrogenesis and origin of the chenar granitoid stock , NW of Kerman, IRAN: Evidence of neotectonic subduction related arc magmatism. journal of Asian Earth Sciences 24: 105-113.
- Barbarin, B., Dodge, F. C. W., Kistler, R. W., Bateman, P. C., 1989- Mafic inclusions and associated aggregates and dikes in granitoid rocks, central Sierra Nevada Batholith. Analytic Data, U.S. Geological Survey Bulletin.
- Blake, S., Fink, J. H., 2000- On the deformation and freezing of enclaves during magma mixing. Journal of Volcanology and Geothermal Research 95:1-8.
- Bonin, B., 1990- From orogenic and anorogenic setting : evolution of granitoid suites after a major orogenesis. Gelogical journal 25 :261-270.
- D'Lemos, R. S., 1996- Mixing between granitic and dioritic crystal mushes, Guernsey, Channel Islands, UK. Lithos 38: 233-257.
- Donaire, T., Pascual, E., Pin, C., Duthou, J. L., 2005- Microgranular enclaves as evidence of rapid cooling in granitoid rocks: the case of the Los Pedroches granodiorite, Iberian Massif, Spain,. Contrib Mineral Petrol.149: 247-265
- Frost, B. R., Barnes, C. G., Collins, W. J., Arculus, R. J., Ellis, D. J. & Frost, C. D., 2001- A Geochemical classification for Granitic Rocks, Journal of Petrology, 42: 2033-2048.
- Hutton, J., 1795-The theory of the earth. Edinburgh.
- Kumar, S.,1995- Microstructural evidence of magma quenching inferred from enclaves hosted in the Hodrus a granodiorites, Western Carpathians. Geol. Carpath. 46:379-382
- Kumar, S., Rino, V., 2006- Mineralogy and geochemistry of microgranular enclaves in Palaeoproterozoic Malanjkhand granitoids, central India: evidence of magma mixing, mingling, and chemical equilibration. Contrib. Mineral. Petrol (2006) 152:591-609
- Lacroix, A., 1893- Les enclaves des roches volcaniques. Protat, Mâcon, 770pp.
- Mazhari, S. A., Bea, F., Amini, S. & Ghalamghash, S., 2008- Estimation of pressure and temperature of intrusive rocks crystallization: A case study of Naqadeh, Pasveb and Delkeh plutons, W Iran. S. Applied Sci., 8: 934-945.
- Paterson, S. R., Vernon, R. H. & Tobisch, O. T., 1989- A review of criteria for the identification of magmatic and tectonic foliations in granitoids. Journal of Structural Geology, 11: 349-363.
- Shand, S. J., 1943- Eruptive Rocks. John Wiley & Sons.
- Silva, M. M. V. G., Neiva, A. M. R., Whitehouse, M. J., 2000- Geochemistry of enclaves and host granites from the Nelas area, Central Portugal. Lithos. 50, 153-170.
- Valizadeh, M.V. & Cantagrel, J. M., 1975b- premiers données radimétriques (K-Ar) et (Rb-Sr) sur les micas du complex du Mount Alvand, C. R. Acad.Sc. Paris, t.281, serie D.
- Vernon, R. H., 1983- Restite, xenoliths and microgranitoid enclaves in granites (Clarke Memorial Lecture). Journal and Proceedings of the Royal Society of New South Wales, 116: 77-103.
- Vernon, R. H., 2000- Review of microstructural evidence of magmatic and solid-state flow. Electronic Geosciences. 5:2.
- Vernon, R. H., 2004- A practical guide to rock microstructure. Cambridge University Press, 594 pp.
- Yashikura, S., Yamawaki, Y., 1999- Mafic-felsic magma interactions in the A-type granitoids of the Cape Ashizuri Complex, southwest Japan. In: Barbarin, B., (Ed.), The Origin of Granites and Related Rocks, Fourth Hutton Symposium abstracts, Clermont-Ferrand, France, p. 41.

Application of Remote Sensing in Exploration Pumice Around Damavand Apex

S. M. Masoudi¹, F. Fereidoni^{2*} & A. A. Matkan¹

¹Earth Sciences Faculty, Shahid Beheshti University, Tehran, Iran.

²Geography Faculty, University of Tehran, Tehran, Iran.

Received: 2009 January 18 Accepted: 2010 January 24

Abstract

In this study, for the first time, Pumices around Damavand Mountain is studied by IRS-1C, Aster and ETM+ images. For this purpose at first, all images are preprocessed. It means geometric corrections and registering images together and with topography maps (1:25000) are done. Then atmospheric corrections, calibration of radiance and reflectance and topographic correction with Minneart method are done too. Preprocessing, some techniques like PCA, IHS, OIF, FCC and SAM have been done. Pan image of IRS-1C satellite for data fusion in visible and near infrared of Aster at visual interpretation and recognizing of roads and mines is better than ETM images. After data preprocessing, some techniques like PCA, IHS, OIF, FCC and SAM have been done. Pan image of IRS-1C satellite for data fusion in visible and near infrared of Aster at visual interpretation and recognizing of roads and mines is better than ETM images. IHS and PCA methods equally have separated clearly Pumice mines and trachyandesites without vegetations and soils covers. With respect to VNIR of Aster has more intensity than other spectral areas. Also because of high topographic changes and pampas vegetation, visible bands and Very Near Infrared (VNIR) of Aster aren't too useful. These spectral areas are caused mixing classes together, especially limestones and pumice. Totally for most of stones and different ores, spectral area of Short Wave Infrared (SWIR) of Aster has the best ability. For categorizing and extracting pumices potential layers from images, sampling is done on pixel or pixels that contain Pumice mines. Because of less expansion of mines, samples are picked up on just one pixel or in maximum case ten pixels. According to that limitation, Spectral Angle Method (SAM) technique has more ability than the other methods. Use of DEM for separation flat or low dip lands whereas are placed for Pumices in northern, eastern and some southern parts of studied area is effective, but any worthwhile tracks of pumice weren't found in south-west of mountain. Finally mining hopeful areas in east of mining potential map is prepared. By calculating the overlay of effective geology structure layer with pumice mines areas layer, which is extracted from PAN image, the amount of overlay is calculated ninety three percent.

Key words: SAM, Pumice, RS, Aster, DEM, ETM+.

For Persian Version see pages 3 to 8

*Corresponding author: F. Fereidoni; E-mail: sfereidoni@gmail.com

The Using of Field and Microstructural Evidences in Determination of the Origin of Magmatic Enclaves and Metapelitic Xenoliths in Malayer Plutonic Complex (West of IRAN)

R. Deevsalar^{1*} & M.V. Valizadeh²

¹ Tarbiat Modares University, Faculty of Basic Sciences, Dep. of Geology, Tehran, Iran

²University of Tehran, College of Science, Faculty of Geology, Tehran, Iran

Received: 2008 September 30 Accepted: 2009 February 03

Abstract

The results of field studies (i.e. shape, dimensions, spatial distribution, condition of enclaves and xenoliths in the host rocks at available outcrops) experimental observations (i.e. petrographical and microstructural study of enclaves and xenoliths and whole rock geochemistry of magmatic encalves) show that magmatic enclaves are mafic and felsic types, while xenoliths are hornfelsic. Elongation of magmatic enclaves and hornfelsic xenoliths along their apparent longitude axis in the margin of intrusive body are attributed to influence of stress on enclaves in melt or semi-solid phases and xenoliths in plastic form. In addition, this is related to impact of high force of magmatic flow in contact with metamorphic wall rocks. This indicates that the origin of xenoliths is the metamorphic rocks which lie at the periphery of the intrusive body. Existing of aligned mafic enclaves in the host, in addition to, presence of signs of plastic deformations (in microscopic scale) in micro-scale fluid features can be attributed to superimposition of solid-state deformation on magmatic flow. Due to lack of solid-state

plastic deformation evidences, applicability of magmatic flow criteria and distinguishable interface of magmatic enclaves with host rocks in microscopic and macroscopic scales, spherical, globular, ellipsoidal and spindle shapes of mafic magmatic enclaves attributed to presence of theirs as mafic globule and packets in the host felsic magma, and also their similarity in superficial appearance, textural, mineralogy and geochemistry with the host rock, attributed to their different origin and magma mixing event. The formation of irregular shaped magmatic felsic enclaves with recognizable mineralogical and geochemical similarity to the host rocks, which are observed at the periphery or ceiling of the plutons, related to peripheral interruption in the primary phase of magmatic injection caused by the high pressure of consecutive injection pulse and replacement of new magmatic charge.

Key words: Malayer, Magmatic enclave, Xenoliths, Aspect ratio, Solid-State deformation, Flow deformation, Magma mixing

For Persian Version see pages 9 to 16

*Corresponding author: R. Deevsalar ; E-mail: Reza-dsalar@yahoo.com

A New Effective Approach for Enhancement of SAR Images Based on Extraction of Interscale Dependencies in the Wavelet Domain

M. Forouzanfar¹, H. Abrishami-Moghaddam^{1*} & M. Dehghani¹

¹ K.N. Toosi University of Technology, Tehran, Iran

Received: 2008 April 12 Accepted: 2008 November 30

Abstract

Despite the wide application of SAR images in lineaments extraction, DEM generation and displacements determination, their radiometric quality and interpretability is degraded due to the presence of a multiplicative noise called speckle. Therefore, the enhancement of SAR images is an important step before using them in any application. In this paper, a new image enhancement method tailored to SAR images is proposed. In this method, the logarithmically transformed SAR image is decomposed using the dual-tree complex wavelet transform (DTCWT). In order to effectively extract the wavelet interscale dependencies, the signal component of wavelet coefficients is modeled with an isotropic stable distribution, while the noise component is approximated using an isotropic Gaussian model. A bivariate Bayesian estimator is then designed to effectively remove speckle from noisy coefficients in the complex wavelet domain. Both quantitative and qualitative comparisons of the proposed method with new speckle reduction methods, demonstrate its higher performance in speckle reduction from SAR images

Keywords: Speckle Noise, SAR Images, Dual-Tree Complex Wavelet Transform (DTCWT), Bivariate Bayesian Estimator, Bivariate Isotropic Stable Distribution.

For Persian Version see pages 17 to 22

* Corresponding author: H.Abrishami_moghaddam; E_mail: moghadam@saba.kntu.ac.ir

Geochemistry of the Asmari Formation at the Tang-e-Sapou and Tang-e-Ban Outcrop Sections, Kohgiluyeh va Bouyer Ahmad Province

Z. K. Mossadegh^{1*}, M. H. Adabi¹ & A.Sadeghi¹

¹Department of Geology, Science Faculty, Shahid Beheshti University, Tehran, Iran

Received: 2007 December 10 Accepted: 2009 February 02

Abstract

We studied the geochemistry of the Asmari Formation in two outcrop sections: Tang-e-Sapou a 260 m section near Dehdasht City (Kohgiluyeh va Bouyer Ahmad Province) and Tang-e-Ban a 214 m section near Behbahan City (Khozestan Province). Sampling included the complete Asmari Formation and the top of the Pabdeh Formation. The Late Oligocene to Early Miocene Asmari Formation lies above the Pabdeh Formation and is overlain by the Gachsaran Formation. Elemental geochemistry (Fe, Mg, Na, Sr, Mn, Ca), and Oxygen and Carbon isotope analyses indicate that meteoric diagenesis affected carbonates of the Asmari Formation. The $\delta^{18}\text{O}/\delta^{13}\text{C}$ data plots in an inverted J-trend suggesting that meteoric diagensis occurred in a closed to semi-closed system. The geochemistry also